

画像処理

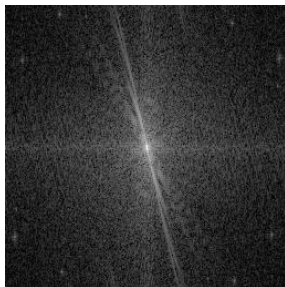
2次元フーリエ変換の利用

宮崎大学 工学部 情報システム工学科

3年後期
第 6 回

パワースペクトル

各周波数成分の波の強さ（振幅）を図示したものの
対数スケールで表示することが多い

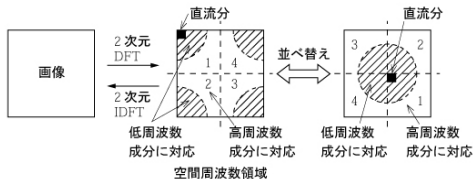


原点：直流成分

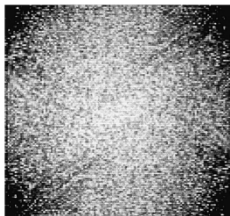
(k, l) ：周波数 $k/M, l/N$

周波数成分の配置 (p.42)

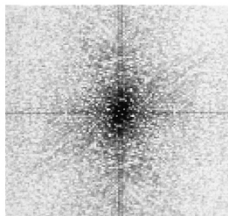
前述の定式化では，直流成分は画像の左上にくる



直流成分が中央になるように再配置を行う



(a) 2次元 DFT による



(b) 光学的 2次元 DFT による

畳み込み (p.40), 微分 (p.43)

空間フィルタリングは, 周波数領域での掛算と等価

$$h(t) = f(t) \otimes g(t) = \int_{-\infty}^{\infty} f(\tau)g(t - \tau)d\tau$$

$$H(\omega) = F(\omega)G(\omega)$$

空間微分も, 周波数領域で演算に変換可能

$$f(x, y) \leftrightarrow F(k, l) \text{の時}$$

$$df(x, y)/dx \leftrightarrow j2\pi kF(k, l)$$

$$df(x, y)/dy \leftrightarrow j2\pi lF(k, l)$$

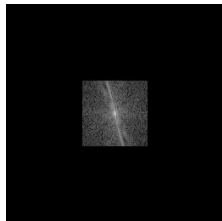
$$d^2f(x, y)/dxdy \leftrightarrow (j2\pi)^2 klF(k, l)$$

$$\Delta f(x, y) \leftrightarrow (j2\pi)^2(k^2 + l^2)F(k, l)$$

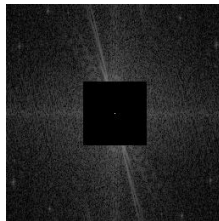
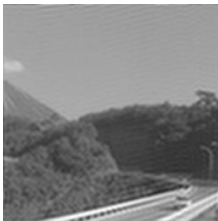
$$(= \partial^2 f / \partial x^2 + \partial^2 f / \partial y^2)$$

周波数フィルタ (p.43)

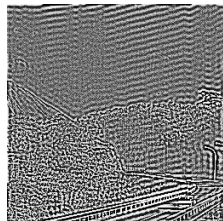
一定の周波数成分のみを出力



ローパス



ハイパス



周波数フィルタ (図 2.32)



(a) 原画像 (Girl)
(128×128 画素, 8 ビット)



(b) 低域通過フィルタによる
処理結果



(c) 高域通過フィルタによる
処理結果

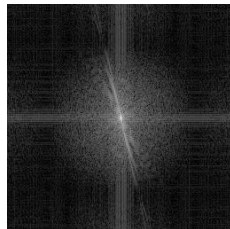
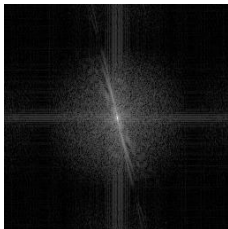
ハイパスフィルタのプログラム

```
void hi_path(K_IMAGE *iimg, K_IMAGE *oimg, int rx, int ry)
{ float ***iptr = (float ***)k_data(iimg);
  float ***optr = (float ***)k_data(oimg);
  int M = k_xsize(iimg); int N = k_ysize(iimg);
  for(int y = 0; y < N; y++) {
    for(int x = 0; x < M; x++) {
      if (sqr(x-M/2)/sqr(rx) + sqr(y-N/2)/sqr(ry)<1) {
        optr[0][y][x] = optr[1][y][x] = 0.0;
      }else{
        optr[0][y][x] = iptr[0][y][x];
        optr[1][y][x] = iptr[1][y][x];
      }
    }
  }
  optr[0][N/2][M/2] = iptr[0][N/2][M/2];
  optr[1][N/2][M/2] = iptr[1][N/2][M/2];
}
```

高域強調フィルタ

高周波数を強調することにより，鮮鋭化

$$G'(k, l) = G(k, l) \times (\sqrt{k^2 + l^2} + 1.0)$$



画像の復元 (P.117)

画像劣化の原因を数学的にモデル化し,
その逆操作を加えることにより
原画像を推定する処理

画像劣化のモデル

得られた画像 $g(x,y)$ は,
原画像 $f(x,y)$ に,
点広がり関数 $h(x,y)$ が畳み込まれ,
ノイズ $n(x,y)$ が加算されたとみなす.

$$g(x, y) = \iint h(x - \alpha, y - \beta) f(\alpha, \beta) d\alpha d\beta + n(x, y)$$

点広がり関数の例（焦点ぼけ）

円形のレンズ領域を通る全ての光線が加算された像

$$h(x, y) = \begin{cases} 1 & \text{for } x^2 + y^2 < \alpha \\ 0 & \text{else} \end{cases}$$



点広がり関数の例（大気擾乱）

光線周囲の明度が，光線からの距離に応じた重みで加算された像

$$h(x, y) = \exp\left(\frac{x^2 + y^2}{\sigma^2}\right)$$



点広がり関数の例（動きぶれ）

動きによる移動範囲内の光線が加算された像

$$h(x, y) = \exp(y^2/\sigma^2)$$

$$h(x, y) = \exp(x^2/\sigma^2)$$



原画像



垂直方向のぶれ



水平方向のぶれ

逆フィルタ

雑音を無視し，周波数領域で考えると原画像 $F(u,v)$ は，得られた画像 $G(u,v)$ を点広がり関数 $H(u,v)$ で割ったもの

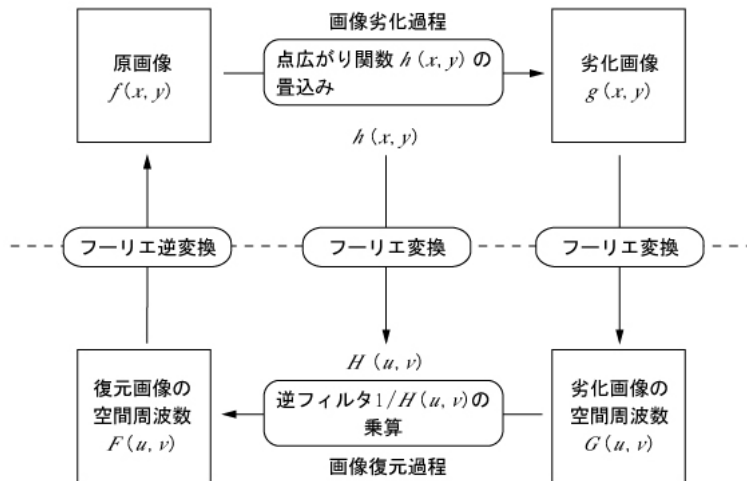
$$g(x, y) = \iint h(x - \alpha, y - \beta) f(\alpha, \beta) d\alpha d\beta$$

$$G(u, v) = H(u, v) F(u, v)$$

$$F(u, v) = \frac{G(u, v)}{H(u, v)}$$

$$\frac{1}{H(u, v)}: \text{逆フィルタ}$$

逆フィルタによる復元



逆フィルタの問題点

- ▶ 実際に観測される画像にはノイズが含まれる
⇒ 雑音成分も復元される
- ▶ 点広がり関数の値が非常に小さくなる場合がある
⇒ 数値的に不安定

特に、高周波成分でこの傾向が強まる

解決法

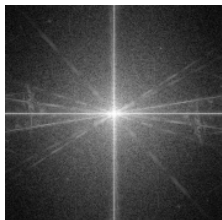
カットオフ周波数 ω_0 を定め、下記のフィルタ $M(u,v)$ により復元する

$$M(u, v) = \begin{cases} \frac{1}{H(u,v)} & (\sqrt{u^2 + v^2} \leq \omega_0) \\ 1 & (\sqrt{u^2 + v^2} > \omega_0) \end{cases}$$

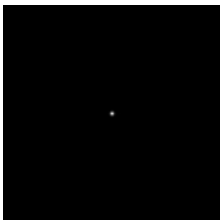
逆フィルタの適用例



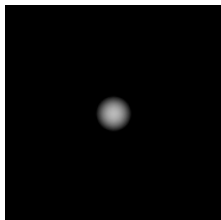
原画像



パワースペクトル



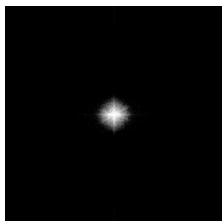
点広がり関数



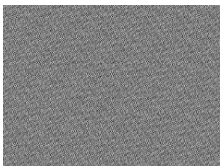
パワースペクトル



ぼけ画像



パワースペクトル



逆フィルタの出力



低周波成分のみ

逆フィルタプログラム

```
#define sqr(x) ((x)*(x))
void inv_filter( K_IMAGE *fimg, // 入力複素画像
                K_IMAGE *gimg, // 点広がり関数複素画像
                K_IMAGE *oimg, // 出力複素画像
                int rx, int ry) // カットオフ周波数
{ float ***fptr = (float ***)k_data(fimg);
  float ***gptr = (float ***)k_data(gimg);
  float ***optr = (float ***)k_data(oimg);
  int M = k_xsize(iimg); int N = k_ysize(iimg);

  for(int y = 0; y < N; y++){
    for(int x = 0; x < M; x++){
      if (sqr(x-M/2)/sqr(rx)+sqr(y-N/2)/sqr(ry)<1) { //カットオフの検査
        float d = sqr(gptr[0][y][x])+sqr(gptr[1][y][x]); // 複素数の割算
        optr[0][y][x] =
          (fptr[0][y][x]*gptr[0][y][x]+fptr[1][y][x]*gptr[1][y][x])/d;
        optr[1][y][x] =
          (fptr[1][y][x]*gptr[0][y][x]-fptr[0][y][x]*gptr[1][y][x])/d;
      }else{
        optr[0][y][x] = fptr[0][y][x]; // そのまま出力
        optr[1][y][x] = fptr[1][y][x];
      }
    }
  }
}
```

ウィナーフィルタ

原画像 $f(x, y)$ と復元画像 $f_0(x, y)$ との平均二乗誤差を最小化

$$g(x, y) = \iint h(x - \alpha, y - \beta) f(\alpha, \beta) d\alpha d\beta + n(x, y)$$

$$G(u, v) = H(u, v)F(u, v) + N(u, v)$$

$$f_0(x, y) = \iint m(x - \alpha, y - \beta) g(\alpha, \beta) d\alpha d\beta$$

$$F_0(u, v) = M(u, v)G(u, v)$$

$$E[\|f - f_0\|^2] \rightarrow \min$$

$$E[\|F - F_0\|^2] \rightarrow \min$$

...

$$M(u, v) = \frac{\overline{H(u, v)}}{|H(u, v)|^2 + E[|N(u, v)|^2]/E[|F(u, v)|^2]}$$

ウィナーフィルタの特性

ノイズの性質 $N(u,v)$, 原画像の性質 $F(u,v)$ は一般に未知
⇒ $N(u,v)/F(u,v)$ を定数 Γ で置き換える

$$M(u, v) = \frac{\overline{H(u, v)}}{|H(u, v)|^2 + \Gamma}$$

$\Gamma=0$: 逆フィルタと等価

Γ 小 : 雑音低減能力は低い, 復元能力は高い

Γ 大 : 雑音低減能力は高い, 復元能力は低い

ウィナーフィルタの適用例



(a) 原画像



(b) ぼけと雑音で劣化した画像



(c) 低周波成分のみの
逆フィルタによる復元



(d) ウィーナ・フィルタによる
復元 ($\Gamma=0.1$)

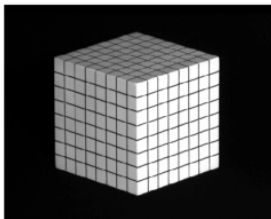


(e) ウィーナ・フィルタによる
復元 ($\Gamma=0.01$)

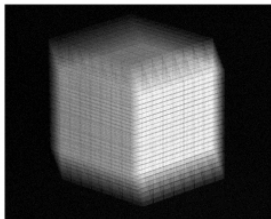


(f) ウィーナ・フィルタによる
復元 ($\Gamma=0.001$)

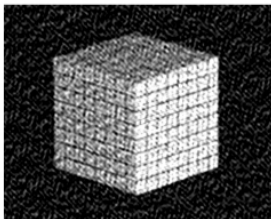
ウィナーフィルタの適用例



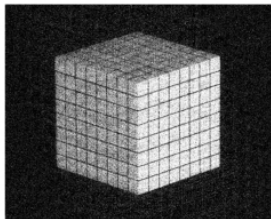
(a) 原画像



(b) ぼけと雑音で劣化した画像



(c) 低周波成分のみの逆フィルタによる復元



(d) ウィナー・フィルタによる復元 ($\Gamma=0.001$)

まとめ

フーリエ変換

- ▶ 周波数領域処理
パワースペクトル／畳み込み演算
ハイパス／ローパスフィルタ
高域強調フィルタ

フーリエ変換を利用した画像復元

- ▶ 画像劣化のモデル
- ▶ 逆フィルタ／ウィナーフィルタ

宿題 06

beamer>

ウィナーフィルタにより画像復元を行う関数

`wiener_filter()` を完成させよ

```
void wiener_filter(K_IMAGE *fimg, //入力複素画像
                  K_IMAGE *gimg, //点広がり関数複素画像
                  K_IMAGE *oimg, //出力複素画像
                  float gamma)   //定数Γ
```

- ▶ `fimg` は入力画像のフーリエ変換結果が入った複素画像
- ▶ `gimg` は点広がり関数のフーリエ変換結果が入った複素画像
- ▶ `oimg` はウィナーフィルタを適用した複素画像
- ▶ `gamma` はウィナーフィルタの定数
- ※ 周波数領域での処理のみ記述すればよい

